

## 岸・沖向き漂砂について

鳥取大学 工学部 正員 野田英明  
 ○ 鳥取大学 工学部 正員 松原雄平  
 飛島建設 正員 福島一也

1. まえがき 波および底質特性と海浜地形変化との関係は、これまで数多くの研究者によって、かなりの程度まで明らかにされてきている。しかし、いまだ、両者の関係を完全に記述した基礎式は確立されておらず、主として、模型実験によって、その将来予測が行なわれている。汀線に直角な方向の漂砂に関して Manohar<sup>1)</sup>、石原・樺木ら他によって、いくつかの漂砂量算定式が提案されてるが、工学的に十分な精度の結果を得られず特に、底質の移動方向については何ら規定されていない。そこで、本研究は、碎波帯以深で、水平床という条件の下で、底質の移動量からびに移動方向について統一的に表示できる漂砂量式を誘導し、さらに、その実験的検証を行なうつもりである。

2. 漂砂量算定式  $q_B$ を、単位時間、単位幅当たりの掃流砂量として、波による底質の無次元掃流砂量を、つきのようにはじめ定義する。

$$\frac{q_B}{w_f \cdot d} = K \frac{u}{\sqrt{sgd}} (\psi - \psi_c) \quad (1)$$

ここに、 $K$ : 比例定数  $d$ : 底質の中央粒径  $s$ : 底質の水中比重  $u$ : 波による底面近傍の水粒子速度

$g$ : 重力加速度  $w_f$ : 底質の沈降速度であって、また

$$\psi = u^2 / sgd \quad \psi_c = u_c^2 / sgd \quad (2)$$

である。 $u_c$ は、波および底質の特性から決定される砂の移動限界流速であり、ここでは、Komar-Miller<sup>2)</sup>が示した関係式

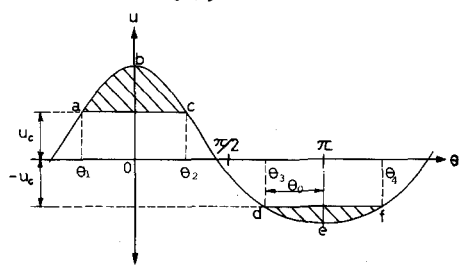
$$\frac{u_c^2}{sgd} = 0.21 \left( \frac{u_c \cdot T}{\pi d} \right)^{1/2} \quad (3)$$

を用いる。また、底面近傍での流速には、計算の繁雑さを避けるために、ストークスの第2次近似解を用い、次式で表わすこととする。

$$u = u_{01} \cos \theta + u_{02} \cos 2\theta \quad (4)$$

図-1は、(4)式から得られる、流速 $u$ の時間的変化を表したものであって、 $u$ は $u_c$ となる斜線部abcに於いて岸向きの掃流砂が生じ、斜線部defにおいて沖向きの掃流砂が発生するものと考える。したがって波の一周期における正味の平均掃流砂量 $q_B$ は、 $\theta=0$ および $\pi$ における対称性を考慮して

$$q_B = \frac{2}{T} \left( \int_0^{\theta_2} q_B d\theta + \int_{\pi}^{\theta_4} q_B d\theta \right) \quad (5)$$



で表わされる。(1)～(4)式を(5)式に代入し、 $u_{02}/u_{01}=v$ 、 $u_c/u_{01}=v_c$ とおいて整理すると、結局

$$\left( \frac{q_B}{w_f \cdot d} \right) \left( \frac{u_{01}}{\sqrt{sgd}} \right)^{-3} = K' \cdot Q(v, v_c) \quad (6)$$

となる。ここで、 $Q(v, v_c) = \left( \frac{1}{6} \sin 3A \cos 3A_* + \frac{3}{2} \sin A \cos A_* \right) v^3 + \left( \frac{3}{5} \cos \frac{5}{2}A \sin \frac{5}{2}A_* + \cos \frac{3}{2}A \sin \frac{3}{2}A_* + 6 \cos \frac{A}{2} \sin \frac{A}{2} \right) v^2 + \left[ \frac{3}{4} \sin 2A \cos 2A_* + (3-2v_c^2) \cos A_* \sin A_* + \frac{3}{2}A_* \right] v + \frac{1}{3} \cos \frac{3}{2}A \sin \frac{3}{2}A_* + (3-4v_c^2) \cos \frac{A}{2} \sin \frac{A}{2}$

であり、 $K'$ : 定数  $A = \theta_2 + \theta_0$ 、 $A_* = \theta_2 - \theta_0$   $T$ : 周期。

漂砂量  $g_s$  は、砂材の沖向き漂砂量式を次式のように修正して使用する。

$$\frac{g_s}{w_f \cdot d} \left( \frac{u_{ol}}{\sqrt{sgd}} \right)^{-3} = \beta \cdot \{ v^2 + (2 - v_c) v \} \quad \dots \quad (8)$$

ここに、 $\beta$  は定数である。図-2は、砂材が実験によって測定した沖向き漂砂量と(8)式から算定される漂砂量ヒロ比較したものである。これより、結果に若干のばらつきは見られるものの、(8)式による計算値と実測値とは、ほぼ対応しており、また(8)式中の  $\beta$  の値は、 $-3.2 \times 10^{-3}$  となることがわかる。

以上のことから、汀線に直角な方向の単位時間、単位幅当たりの漂砂量式は、(6)式の掃流砂量式、(8)式の漂砂量式から

$$\frac{g}{w_f \cdot d} \left( \frac{u_{ol}}{\sqrt{sgd}} \right)^{-3} = K' Q(v; v_c) + \beta \{ v^2 + (2 - v_c) v \} \quad (9)$$

となる。したがって、 $K'$  を適当に与えることで、 $v$  および  $v_c$  の関数として漂砂量を算定することができ、岸向きを正、沖向きを負として、その移動方向を与えられる。

### 3. 実験結果および考察

実験は、長さ 18m、幅 0.5m、高さ 0.6m の鋼製 2 次元波動水槽の中央を支切り、片側 0.25m 部分に厚さ 5cm ( $\times 10^3$ ) 長さ 8m にわたって中央粒径 0.3mm の移動床を設置して行なった。漂砂量は測深器によって砂面形状を測定し、その形状変化から砂の移動量を算定して求めた。図-3 は、 $v$  をパラメータとして、(9)式から算定される漂砂量(実線)と実験結果とを比較したものである。定数  $K'$  の値は、実験値と最も良く一致するように  $K' = 1.5 \times 10^{-3}$  とした。また、図中の数字は、それぞれの実験結果に対応する  $v_c$  の値を示している。

(9)式の算定結果をみると、 $v$  の値の増加とともに、底質の移動量が増大すること、とくに、 $v$  の値が 1 に漸近するにつれて、沖向きの漂砂量が卓越していることがわかる。また、 $v_c$

の値が小さくなるにつれて、すなわち、相対的に砂が移動しやすくなると、同様に沖向きの漂砂量が徐々に増加していくことがわかる。特に、 $v_c = 0.5$  の場合、底質の移動方向は、 $v$  の変化とともに、岸向きから沖向きへと変化している。以上のことは実験結果からも確かめられることがある。 $v_c = 0.61 \sim 0.76$  の場合、 $v$  の変化にともなう砂の移動量、ならびに移動方向の変化は、(9)式の結果とはほぼ一致している。

また、 $v_c = 0.51 \sim 0.57$  の結果についても、(9)式の算定値よりいく分、大きくなっているが、その傾向は一致している。また、実験結果の若干のばらつきの原因としては、非定形波の条件に実験波を設定したことにより、漂砂量が場所的に異なり、その平均値で表わしたためであると思われるが明らかではない。したがって、定形波をも含めて種々の波および底質の条件に対して実験を行なう、(9)式の妥当性について検討する必要がある。

4. おわりに 本研究では、汀線に直角な方向の漂砂量算定式を提案し、その実験的検証を行なったが、漂砂量ならびに、従来の研究では明らかにされなかつた漂砂の移動方向について、1引を満足すべき結果が得られた。

参考文献 (1). Manohar, M., Mechanics of Bottom Sediments Movement due to Wave Action. B.E.B. Tech. Memo. 12/P. 1955

(2) 石原義太郎 構木亭、漂砂の移動限界流速、限界水深および移動量について、第7回海岸工学講演集 pp. 47~63, 1963  
(3) 砂材株式会社東洋造、福川清司、非対称波による砂移動機構と漂砂量に関する実験的研究、第25回海岸工学講演集 pp. 20~25, 1978

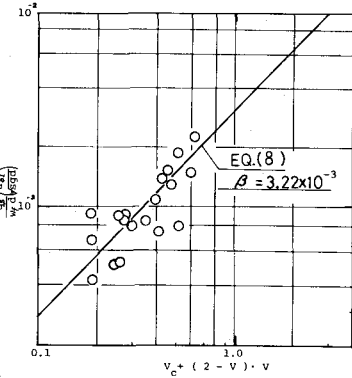


図-2

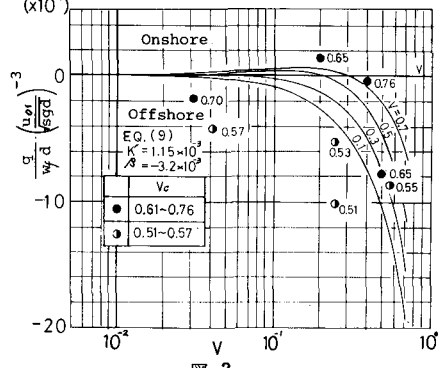


図-3